

腐食鉄筋を用いたコンクリート曲げ部材の力学的挙動について

京都大学 正会員 宮川豊章
 京都大学 正会員 小林和夫
 京都大学 正会員 國田清

近年注目されている大型海洋構造物に対して、コンクリート構造の適用が種々試みられている。しかし、海洋環境中においては、環境中の塩分による鉄筋の腐食作用と、比較的長周期の荷重繰り返し作用を同時に受けた場合、その耐久性はきわめてきつい条件下に置かれている。今回は、腐食鉄筋を用いた曲げ部材に静的載荷ある疲労試験の両者を併行して行なうことにより、鉄筋腐食がコンクリート曲げ部材の力学的挙動に与える影響を検討する上にあてての基礎的資料を得ることを試みた。

実験概要 供試体としては、特にひびわれ制御、あさびじん性の点で海洋構造物に対する適応性にすぐれていると考えられるⅢ種PCを選び、図-1に示す断面とした。要因としては、鉄筋（異形丸棒）の腐食状態、コンクリート中の塩分の有無を取り上げ、以下に示す4種の供試体を用いた。①健全な鉄筋を用い、コンクリート中に塩分を含まないもの（略称：非-Non），②健全な鉄筋を用い、練りきざ木として食塩水（3.13% NaCl水溶液）を用いたものの（略称：非-Cl），③モーティメント区間にあたる中央部の40cmについて3年間塩水噴霧により腐食させた鉄筋を用い、練りきざ木として食塩水を用いたもの（略称：腐-Cl），④1の供試体に最大ひびわれ幅が0.1mm程度とあらかじめ曲げクリープを実施し、一年間ひびわれに食塩水を注入したもの（略称：クリープ）の4種である。載荷は、曲げスパン40cm、スパン140cmの2点集中載荷とした。疲労試験における荷重レベルおよび載荷速度は、機械的性能あらび疲労の制約から、①自重0tを下限とし、CEB-FIPによる荷重繰り返しがある場合の最大ひびわれ幅算定式から求めた、最大ひびわれ幅が0.2mm程度となる設計モーティメント(M_D+M_L)を上限とする3Hzの載荷と、④下限コンクリート応力値が土木学会PC標準示方書による許容応力度となる時のモーティメント(M_D)を下限とし、道路標準示方書を参考として許容しうる最大のモーティメント(M_D+M_L)を上限とする2Hzの載荷の2種類について行なった。自重、 $M_L > M_L$ であり、また終局荷重時にあたる鉄筋の荷重介在率は約1%である。供試体は、乾燥収縮などの影響を考慮して、材令8ヶ月ご下限で30kg/cm²のアーチストレスを導入し、材令9~12ヶ月ご繰り返し載荷を行なった。

実験結果あらび考察 はりの試験開始時におけるコンクリートの諸特性の平均値は、コンクリート中に塩分を含まない場合、圧縮強度730kg/cm²(71.6N/mm²)、曲げ強度72.1kg/cm²(7.07N/mm²)、弾性係数 3.87×10^5 kg/cm²(3.80×10^4 N/mm²)であり、練りきざ木として食塩水を用いた場合、圧縮強度685kg/cm²(67.6N/mm²)、曲げ強度76.2kg/cm²(7.47N/mm²)、弾性係数 3.48×10^5 kg/cm²(3.41×10^4 N/mm²)である。 Cl を含んだ場合、圧縮強

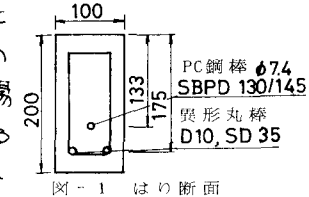


図-1 はり断面

表-1 静的載荷試験結果

	ひびわれ荷重		破壊荷重		ひびわれ本数
	実測値 t (kN)	実測値 計算値	実測値 t (kN)	実測値 計算値	
非-Non	2.50 (24.5)	0.84	7.80 (76.5)	1.17	2 8
	2.75 (27.0)	0.92	8.50 (83.4)	1.28	1 7
非-Cl	2.50 (24.5)	0.80	7.70 (75.5)	1.16	2 11
	2.50 (24.5)	0.80	8.50 (83.4)	1.28	2 10
腐-Cl	2.50 (24.5)	0.80	8.35 (81.9)	1.25	1 10

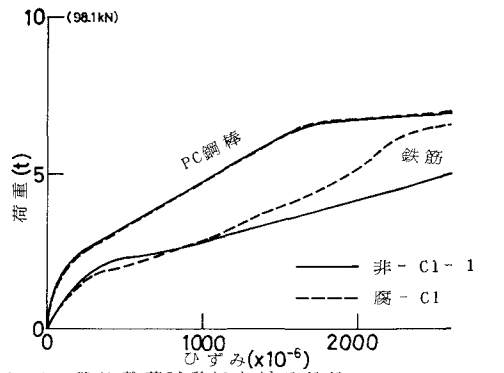


図-2 静的載荷試験における鉄筋、PC鋼棒ひずみ

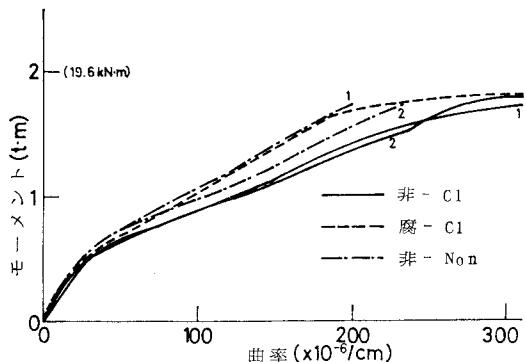


図-3 静的載荷試験におけるモーメント～曲率関係

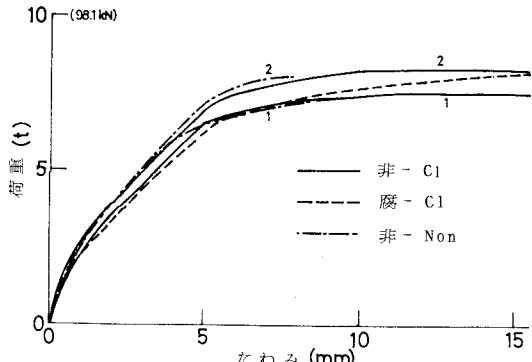


図-4 静的載荷試験における荷重～たわみ関係

度は若干小さく、曲げ強度は大きくなつた。また、腐食させた鉄筋の腐食減量は2011~215mmであった。静的載荷試験結果 試験結果の概要を表-1に、各種ひずみの例を図-2、モーメント～曲率関係を図-3に、荷重～Span中央たわみ関係を図-4に示す。ひびわれ荷重、破壊荷重および最大ひびわれ幅については、著者と差異認められないが、ひびわれ本数については、コンクリート中にひびきを含む場合の方が多い結果が得られた。また、鉄筋ひびきについては、ひびわれ発生点では腐食鉄筋の方が健全筋よりも若干大きいが、それ以後は腐食鉄筋の方が大きくなり、コンクリート上縁ひびき、および曲率における大小関係と一致している。たれ幅については、その影響を認められない。疲労試験結果 載荷方法④についての等価粘性減衰定数を、⑤についても同様の方法で算出した値を表-2に示す。また、20万回繰り返し載荷後の静的載荷試験の結果を表-3に、荷重～たわみ関係を図-5, 6に示す。供試はりは、いずれも繰り返し載荷20万回ごとに破壊しなかつた。等価粘性減衰定数については、初期においては、クリープ供試体が小さき傾向にあるが、次第に全ての供試体とともに小さくなる傾向にあり、載荷方法ごとに似たような値を示しており、鉄筋腐食の影響も明らかではない。破壊荷重については、静的とほぼ同様の結果を得たが、じん性率(最大荷重時たわみ/部材の降伏時たわみ)については、腐-C1およびクリープ若干小さめの値が得られた。

表-2 各くり返し回数における等価粘性減衰定数

	$0 \sim M_D + M_{L1}$	1回	2回	5回	1000回	200万回
非-Non	0.062	0.021	0.031	0.028	0.013	
非-C1	0.078	0.040	0.066	0.026	0.015	
腐-C1	0.056	0.037	0.035	0.020	0.014	
クリ-7°	0.051	0.033	0.027	0.026	0.014	

	$M_D \sim M_D + M_{L2}$	1回	2回	5回	1000回	200万回
非-C1	0.106	0.042	0.025	0.022	0.007	
腐-C1	0.112	0.047	0.027	0.012	0.006	

表-3 200万回くり返し載荷後の静的載荷試験結果

	破壊荷重		CL性率
	実測値 t (kN)	実測値 機回復率 の値	
$0 \sim M_D + M_{L1}$			
非-Non	8.90 (87.3)	1.09	3.94
非-C1	7.90 (77.4)	0.98	4.11
腐-C1	8.50 (83.4)	1.02	3.61
クリ-7°	7.95 (78.0)	-	3.02
$M_D \sim M_D + M_{L2}$			
非-C1	8.70 (85.3)	1.07	4.31
腐-C1	8.05 (78.9)	0.96	3.46

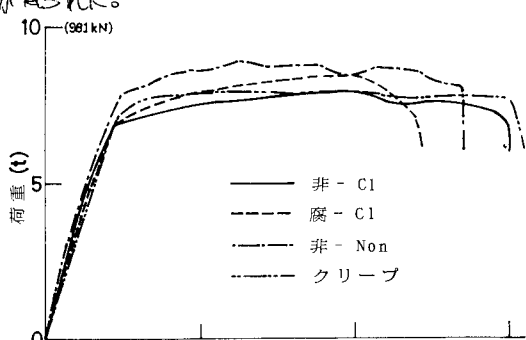


図-5 疲労試験 ($0 \sim M_D + M_{L1}$) 後における荷重～たわみ関係

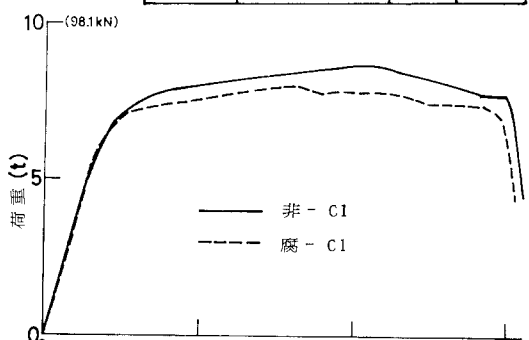


図-6 疲労試験 ($M_D \sim M_D + M_{L2}$) 後における荷重～たわみ関係